

mediterráneos, mediterráneos occidentales y atlantomediterráneos). Este grupo está formado a su vez por dos subgrupos, 1 y 2, en función de la proporción relativa que presentan los elementos de dicha categoría biogeográfica (fig. 2). En el caso de los biotopos del subgrupo B1, la proporción de elementos mediterráneos es muy elevada, superándose el 55% del total de elementos componentes de las comunidades, mientras que en el subgrupo B2 se reduce apreciablemente dicha proporción, no llegando a alcanzarse el porcentaje indicado, con la excepción del biotopo Pastizal-1 que se agrupa aquí debido a la proporción relativa de elementos holomediterráneos que presenta.

Por último, el biotopo Ribera-2 presenta unas características muy peculiares en cuanto a su composición biogeográfica, ya que, a pesar de presentar un claro dominio de elementos paleárticos (50%), en él sólo se han detectado además elementos de otras dos categorías (cosmopolita y holomediterránea), por lo que su adscripción a alguno de los grupos mencionados es dificultosa.

En conclusión, los resultados obtenidos no permiten delimitar zonas biogeográficas en la provincia de Albacete en función de su fauna neuropterológica, y, por tanto, impiden la comparación de la composición biogeográfica neuropterológica con las unidades biogeográficas reconocidas para el paisaje vegetal provincial (ALCARAZ ARIZA & SÁNCHEZ GÓMEZ, 1988). Sin duda alguna, la homogeneidad bioclimática existente en gran parte del territorio provincial, ocupado mayoritariamente por un piso bioclimático mesomediterráneo y un ombroclima seco o semiárido (VALDÉS & HERRANZ, 1989) (tabla I), impide una diferenciación clara de zonas con condiciones macroclimáticas diversas, en las que se pudiese desarrollar una fauna neuropterológica particular en cuanto a su composición biogeográfica. En este caso, las condiciones microclimáticas de los biotopos estudiados serán las que determinen la variación más o menos acusada en la composición biogeográfica neuropterológica que presentan dichos biotopos.

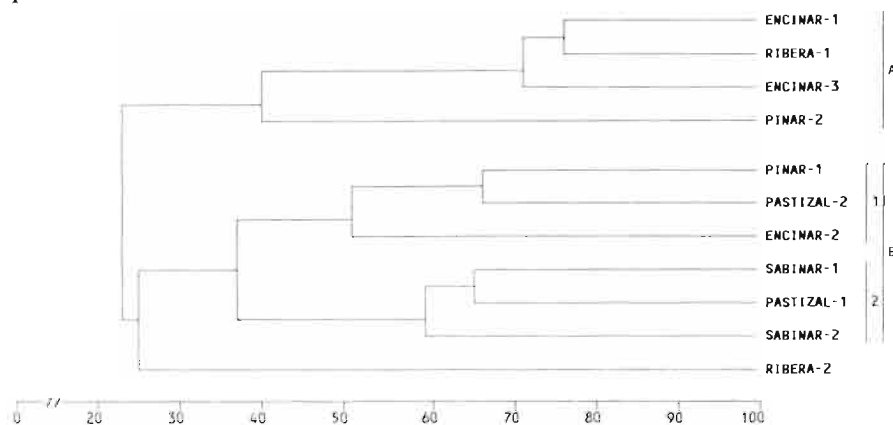


Fig. 17: Dendrograma de similitud cuantitativa de los biotopos estudiados en función de la composición biogeográfica de su fauna neuropterológica.